

レーザーレーダーによる風向・風速の測定

— 大気境界層内エアロゾル分布をトレーク —

Wind measurements through the aerosol distribution
in the atmospheric boundary layer observed
by a laser radar.

笹野 泰弘 清水 浩 竹内 達夫 奥田 典夫

Y. Sasano, H. Shimizu, N. Takeuchi, M. Okuda

国立公害研究所

National Institute for Environmental Studies

山崎 哲夫 *

T. Yamazaki

筑波大学

Tsukuba University

* 現在、日本気象協会

Present address, Japan Meteor. Association

はじめに 大気境界層内の風の分布を知ることの重要性については、人間生活への直接的な影響、気象学的には熱や水蒸気、運動量の輸送など、改めて述べるまでもないだろう。特に大気汚染問題に関連しては、汚染物質の輸送、拡散を支配する大気の流れの場、乱れの場を把握することが汚染の予測、防止の上での不可欠である。汚染物質の流域の輸送、拡散に関するものは、上層の風の分布や、水平的な拡散や、中での風の分布状況である。

従来までこれにて風分布の測定は、測器を測定しようとする地点に設置する（建屋、塔等を利用）か、航空機、ソンデ等の装置を利用して、直接、測定点へ運ぶものであった。しかし、測定領域を広くしたり、測定のメッシュサイズを細かくするためには、非常な労力と経費を要するという問題があった。近年、リモートセンシング技術が、これら的问题に対処するものとして注目され、風測定に関して、各種の測器、技術が開発されてきている。これらに使用される波動は、光波、電波、音波などで、手法としてはドップラー法、相関法、シニターション法など各種提案されている。

レーザーレーダーを用いた測定法には、(1)ドップラー法による方式、(2)-一定時間内に散乱体が移動する距離を測定する方式、(3)-一定距離を散乱体が移動するのに要する時間を測定する方式などがある。本報告では、特に、上記のうち(2)の方式をひとつとして、エアロゾルを散乱体として、その空間分布をトレークし、移動量から風速を求め試みについて述べる。既に基本的な測定原理と雲の分布をトレークとトレーク実験について報告した。今回は、エアロゾル分布を対象とする一般化されたとともに、測定、解析、最適化などの検討を行なった。この方法は他の手法と比べて、一台の測器(スキャニングレーザーレーダー)で、空間内の任意の点における風速の3方向成分が測定できるという点において優れている。

測定の原理と方法 測定の基本的な原理はオカノの本シンポジウムで報告した。普通の気象条件下では大気境界層内では、発生源は何であれ、エアロゾルが広く分布しており、しかも、それは空間的に濃度が不均一な状態になり、このとを考えられる。時刻 t_1 , t_2 におけるエアロゾルの空間分布が測定できれば、不均一な分布をトレークとして、エアロゾルの空間移動量ベクトル \vec{D} が求めら

れ、これから風速ベクトルが(1)として算出される(図1)。このとき、時間間隔 $t_2 - t_1$ の間に、分布形に大きな変形があつてはならぬ。

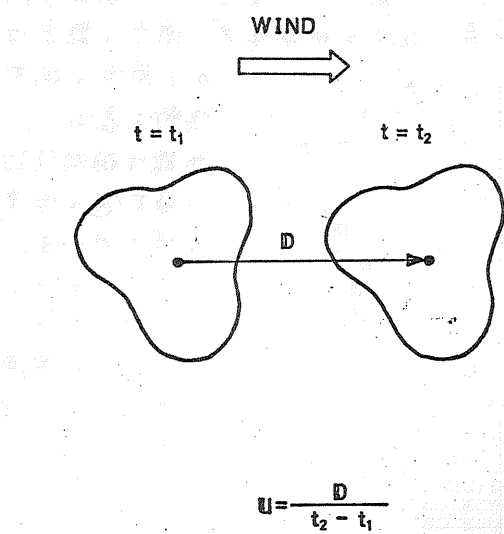


図1. 風速測定の原理

エアロゾルの空間分布は、スキャンニングレーザーレーダーで測定される。今、簡単化のために、主風向を含む特定の断面内で測定について考えてみよう。

スキャンニングレーザーレーダーで測定された2組のエアロゾル分布について、2次元の相関計算を施し、相関が最大になるラグ L_x, L_y から空気移動量ベクトル D が求められる。しかし、レーザーレーダーのスキャニ速度 V が有限であるために、風速 U とスキャニ速度 V の相対的位相角によって、風速 U が移動する座標系上でスキャニされる領域は、絶対空間上で実際にスキャニされる領域とは異なり歪んだ形となるので、この補正が必要となる。簡単な場合について図2を示す。ここで、 V はスキャン速度ベクトル、 U は風速ベクトルである。絶対空間上でスキャニ領域は、 U をレーザービームの方向として正方形とし、破線で示した。 U と V の角度が鈍角のとき、速度 U で移動する座標系上でスキャニされる領域は、始点 B の平行四辺形となり、 U が反対方向のときは $(I_1)(I_6)(I_2)(I_3)$ となる。繰り返してスキャンした時、同一のエアロゾル分布部分が移動座標系上でスキャニされるのは、えくぞれ $I_4 I_8 I_2 I_9, (I_6)(I_{10})(I_8)(I_{11})$ となる。

普通、レーザーレーダーは、軸を中心として回転させてスキャンするので、スキャン速度ベクトルはスキャニ領域の各点において、一定の方向、速度が異なる。歪みの補正を容易にするため、どうぞスキャニ速度ベクトルが領域の中でも一様となるよう領域設定が必要となる。

相関計算から移動距離を求める方法は、スキャニ領域全体に相関計算を施して領域内全体の平均的な移動量を求めるなどの他に、領域を小単位に分割して、単位領域毎の移動量ベクトルを求ることも可能であり、風速の空間分布を測定できる。

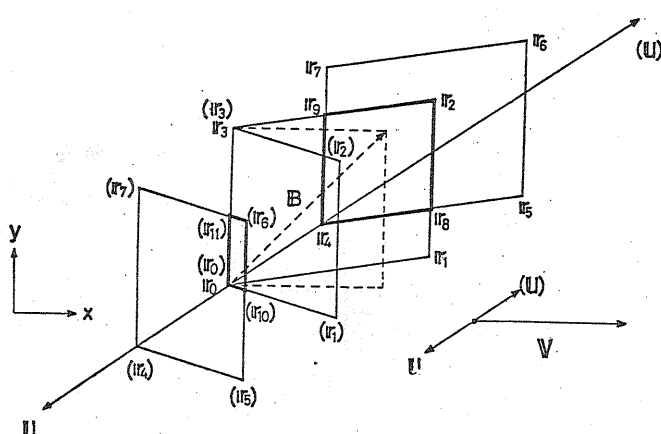


図2. スキャン速度と風速・相対關係で決まるスキャニ領域の歪み

測定実験 前節で述べた方法は、その原理から、3次元的なエアロゾル分布について同様に適用できるが、ここでは基礎実験として、主風向を含む鉛直面内のエアロゾル分布を測定して、水平方向の風速の鉛直分布を求めた。すなはち、測定されたエアロゾルの鉛直面内分布について、高度毎に水平方向の相関計算から移動量を求め、水平風速を換算した。

実験は、国立公害研究所計測車塔載型レーザーレーダーを用いて、1978年9月19日、千葉県九十九里町を行った。スキャニ領域は天頂附近の狭い範囲に限り、スキャニ速度ベクトルの方向からは水平

正逆ハ ようにした。スキャン速度は高度毎に異ひるが、水平風速を求める本実験では問題はない。
図3に、測定されたエアロゾル空間分布を示す。濃度レベルを適当に分割して表示した。図のa,
b, c の順に約7秒間隔で測定したもので、分布の形が右から左へ移動していることが、図から判
断できる。a, b の2つの分布図につき、高度毎に相関を計算したものが図4である。

KUJUKURI
19 SEP 1978

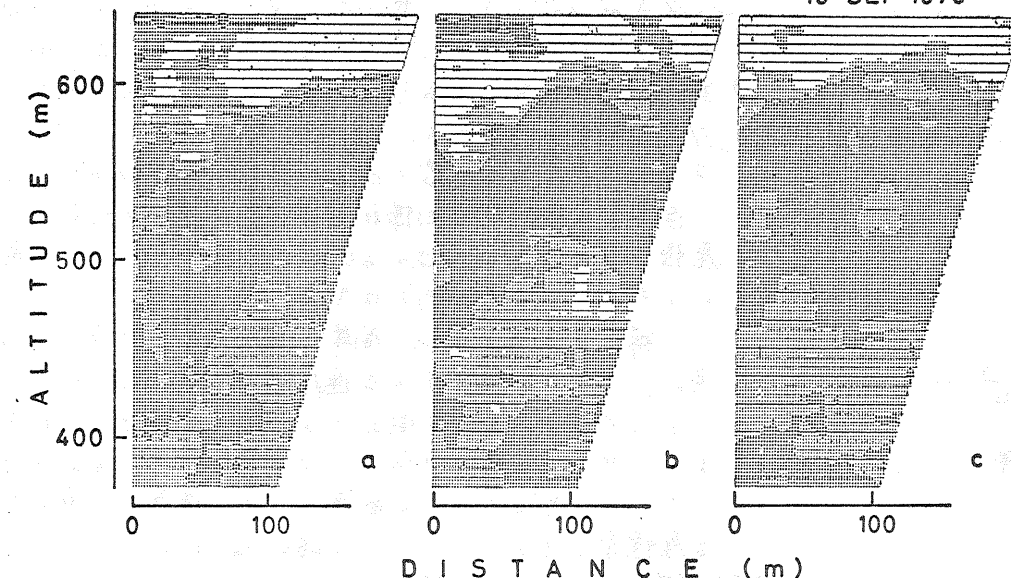


図3. 連続スキャンで得られたエアロゾル空間分布。

a) 5^h18^m56^s b) 5^h19^m3^s c) 5^h19^m11^s

0.1単位の相関
係数を表し、
曲線は相関係数
の極大値の位置
を結んでいる。
ここで、主とし
てラグの小さい
方。極大が風速
に対応している。

KUJUKURI
19 SEP 1978

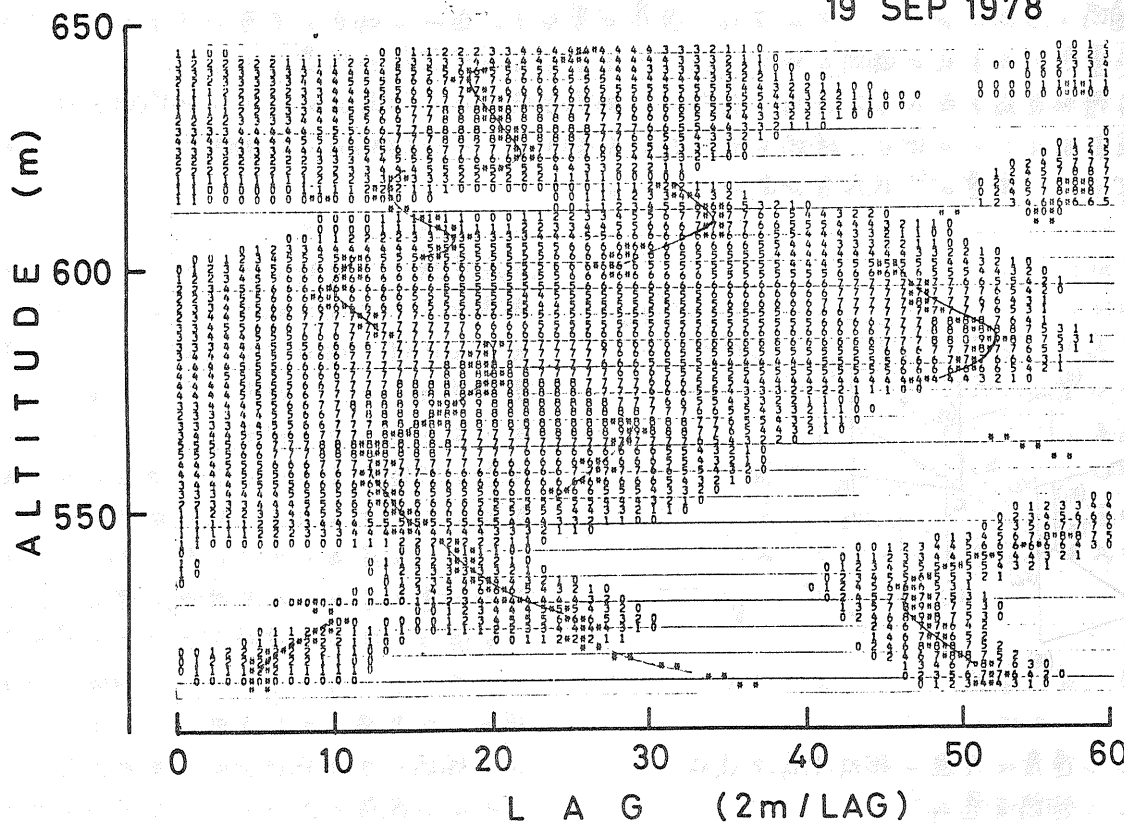


図4. 高度
毎の水平方
向相関係数
分布。

図5には、相間計算された移動量から風速に換算して鉛直分布として表わした。5回連続したスキャナ、すなはち47、相間計算から求めた風速の平均と標準偏差の大きさを \rightarrow で示し、同時に平行して1978年9月19日5時19分の測定結果を破線で示した。レーザーレーダーの測定結果は、ばらつきは大きいが、平均約10m/sである。

図3で示したエアロゾルの分布と並んで、分布の不均質性を示すように斜面フィルターを用いた。エアロゾル分布の不均質性に関する実測データとともに、測定領域の大きさに応じて、スキャナの時間间隔、 $\Delta t = 7.4 = 7 \times 1.07 \text{ sec}$ の大きさの選択やフィルタリングの方法などを検討するこれが今後の問題として残されてくる。

図3で示したエアロゾルの分布と並んで、分布の不均質性を示すように斜面フィルターを用いた。エアロゾル分布の不均質性に関する実測データとともに、測定領域の大きさに応じて、スキャナの時間间隔、 $\Delta t = 7.4 = 7 \times 1.07 \text{ sec}$ の大きさの選択やフィルタリングの方法などを検討するこれが今後の問題として残されてくる。

本報告で述べてきた風測定の手法は、大型のスキャナニンゲレーザーレーダーによる流域間の風系構造の把握、大気境界層内の詳細な風分布の測定など、従来レーザーレーダーでなされてきた航空密度分布の測定と組み合わせることにより、一層有効な情報が提供できると期待される。

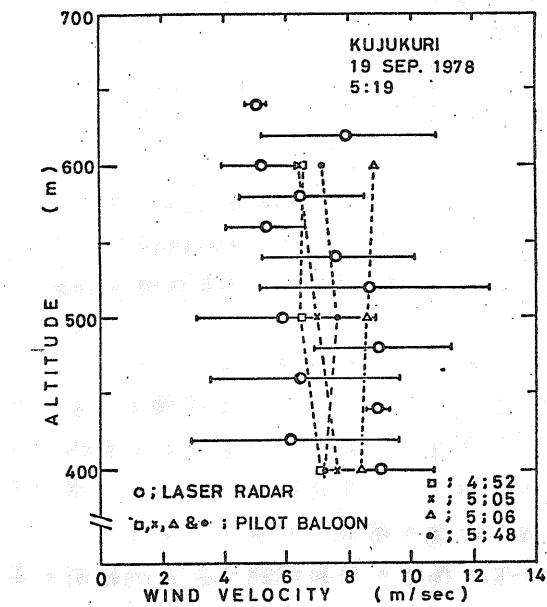


図5. 測定された風速の鉛直分布。